

UNIVERSIDAD NACIONAL DE ROSARIO  
FACULTAD DE CIENCIAS EXACTAS, INGENIERIA Y AGRIMENSURA

I.S.S.N. 03260690

# CUADERNOS

DEL

INSTITUTO DE MATEMATICA "BEPRO LEVI"

**III SEMINARIO SOBRE PROBLEMAS DE  
FRONTERA LIBRE Y SUS APLICACIONES**

Rosario, 11 al 15 de octubre - 1988

17

Rosario - República Argentina  
-1989-

# SOBRE UN PROBLEMA DE STEFAN A DOS FASES

## CON FUENTE DE ENERGIA INTERNA

Graciela G. GARGUICHEVICH - Domingo A. TARZIA

PROMAR (CONICET-UNR),

Instituto de Matemática "Beppo Levi",

Facultad de Ciencias Exactas, Ing. y Agr.,

Avda. Pellegrini 250,

2000 Rosario, Argentina.

### 1. PLANTEO DEL PROBLEMA

Consideremos el problema de la distribución estacionaria de temperatura  $\theta$  en un cuerpo  $\Omega$  con una fuente de energía interna de densidad  $g$ .

Supondremos que  $\Omega \subset \mathbb{R}^n$  tiene una frontera suficientemente regular  $\partial\Omega = \Gamma_1 \cup \Gamma_2 \cup \Gamma_3$ , con  $\Gamma_1$  y  $\Gamma_2$  disjuntos y de medida  $(n-1)$  dimensional positiva ( $|\Gamma_i| > 0$ ,  $i = 1, 2$ ) y admitiremos el caso  $\Gamma_3 = \emptyset$ .

Asumiremos, además, sin pérdida de generalidad, que la temperatura de cambio de fase del material es  $0^\circ$ , que sobre  $\Gamma_1$  es  $\theta = b > 0$  y sobre  $\Gamma_2$  el flujo es  $q$  y 0 respectivamente.

Vamos a generalizar aquí los resultados obtenidos en [5] para el caso  $g = 0$ . Obtendremos condiciones necesarias y/o suficientes que relacionarán los datos  $B$ ,  $q$  y  $g$  para que el material presente una o dos fases.

Si definimos la temperatura estacionaria por:

$$\theta(x) = \begin{cases} \theta_1(x) < 0 & , x \in \Omega_1 \text{ (fase sólida)} , \\ 0 & , x \in \mathcal{L} \text{ (frontera libre)} , \\ \theta_2(x) > 0 & , x \in \Omega_2 \text{ (fase líquida)} , \end{cases} \quad (1)$$

con  $\Omega = \Omega_1 \cup \Omega_2 \cup \mathcal{L}$ , entonces se deben satisfacer las siguientes condiciones:

$$\left\{ \begin{array}{l} -k_i \Delta \theta_i = g \text{ en } \Omega_i \quad (i=1, 2), \\ \theta_1 = \theta_2 = 0, \quad k_1 \frac{\partial \theta_1}{\partial n} = k_2 \frac{\partial \theta_2}{\partial n} \text{ sobre } \mathcal{L}, \\ \theta_2 = b \text{ sobre } \Gamma_1, \\ -k_2 \frac{\partial \theta_2}{\partial n} = a \text{ si } \theta > 0 \text{ sobre } \Gamma_2, \\ -k_1 \frac{\partial \theta_1}{\partial n} = a \text{ si } \theta < 0 \text{ sobre } \Gamma_2, \\ \frac{\partial \theta}{\partial n} \mid_{\Gamma_3} = 0, \end{array} \right. \quad (2)$$

donde  $k_i > 0$  es el coeficiente de conductividad térmica de la fase  $i$  ( $i=1$  fase sólida,  $i=2$  fase líquida) y  $n$  es la normal exterior a  $\Gamma_2$ ,  $\Gamma_3$  o  $\mathcal{L}$  según corresponda.

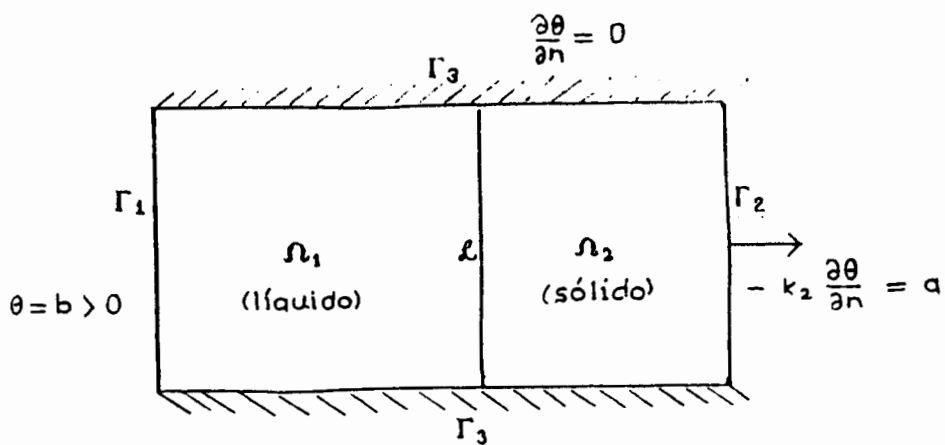


FIGURA 1

Este problema resulta equivalente a ([1],[4])

$$\left\{ \begin{array}{l} -\Delta u = g \text{ en } \Omega, \\ u \mid_{\Gamma_1} = B, \\ -\frac{\partial u}{\partial n} \mid_{\Gamma_2} = a, \quad -\frac{\partial u}{\partial n} \mid_{\Gamma_3} = 0, \end{array} \right. \quad (3)$$

siendo  $u=u(x)$  la nueva función incógnita, definida de la siguiente manera

$$u = k_2 \theta^+ - k_1 \theta^- \text{ en } \Omega \quad (4)$$

## 2. FORMULACION VARIACIONAL

Sea

$$\left\{ \begin{array}{l} a(u,v) = \int_{\Omega} \nabla u \cdot \nabla v \, dx , \\ L(v) = \int_{\Omega} g v \, dx - \int_{\Gamma_2} q v \, d\gamma \quad (= L_{Bqg}(v)) \\ V = H^1(\Omega), \quad V_0 = \{ v \in V : v|_{\Gamma_1} = 0 \}, \quad K = \{ v \in V : v|_{\Gamma_1} = B \} \quad (= K_B) \end{array} \right. \quad (5)$$

con  $L \in V_0'$  (por ej.  $q \in L^2(\Gamma_2)$ ,  $g \in L^2(\Omega)$ ) y  $B \in H^{1/2}(\Gamma_1)$ .

El problema (3) admite la siguiente formulación variacional ([2], [4]):

$$u \in K_B, \quad a(u,v) = L(v), \quad \forall v \in V_0, \quad (6)$$

y también, su equivalente

$$u \in K_B, \quad J(u) \leq J(v), \quad \forall v \in K_B, \quad (7)$$

donde

$$J(v) = \frac{1}{2} a(v,v) - L(v) \quad (8)$$

La única solución de (6) puede caracterizarse por

$$u_{Bqg} = u_B + u_q + u_g \text{ en } \Omega, \quad (9)$$

donde  $u_B$ ,  $u_q$  y  $u_g$  son respectivamente las únicas soluciones de

$$u_B \in K_B, \quad a(u_B,v) = 0, \quad \forall v \in V_0, \quad (10)$$

$$u_q \in V_0, \quad a(u_q,v) = - \int_{\Gamma_2} q v \, d\gamma, \quad \forall v \in V_0, \quad (11)$$

$$u_g \in V_0, \quad a(u_g,v) = \int_{\Omega} g v \, dx, \quad \forall v \in V_0 \quad (12)$$

En el caso  $B, q$  y  $g$  constantes, resulta

$$u_{Bqg} = B - q u_1 + g u_2 \text{ en } \Omega, \quad (13)$$

donde  $u_1$  y  $u_2$  quedan definidas por los siguientes problemas:

$$\left\{ \begin{array}{l} \Delta u_1 = 0 \text{ en } \Omega , \\ u_1 |_{\Gamma_1} = 0 , \\ \frac{\partial u_1}{\partial n} |_{\Gamma_2} = 1 , \\ \frac{\partial u_1}{\partial n} |_{\Gamma_3} = 0 , \end{array} \right. \quad \text{ó} \quad \left\{ \begin{array}{l} u_1 \in V_0 , \\ a(u_1, v) = \int_{\Gamma_2} v \, d\gamma , \quad \forall v \in V_0 \end{array} \right. \quad (14)$$

u

$$\left\{ \begin{array}{l} -\Delta u_2 = 1 \text{ en } \Omega , \\ u_2 |_{\Gamma_1} = 0 , \\ \frac{\partial u_2}{\partial n} |_{\Gamma_2 \cup \Gamma_3} = 0 , \end{array} \right. \quad \text{ó} \quad \left\{ \begin{array}{l} u_2 \in V_0 , \\ a(u_2, v) = \int_{\Omega} v \, dx , \quad \forall v \in V_0 \end{array} \right. \quad (15)$$

Además, por el principio del máximo ([2],[3]),  $u_1$  y  $u_2$  son funciones positivas en  $\Omega$

### 3. PROPIEDADES GENERALES DE LA SOLUCION

Sea  $u = u_{B,a,g}$  la única solución del problema (6) para los datos  $B \in H^{1/2}(\Gamma_1)$ ,  $a \in L^2(\Gamma_2)$  y  $g \in L^2(\Omega)$ , se demuestran las siguientes propiedades:

#### Propiedad 1

i) Si  $B_1 \leq B_2$  (ó  $b_1 \leq b_2$ ) sobre  $\Gamma_1$ ,  $a_2 \leq a_1$  sobre  $\Gamma_2$ ,  $g_1 \leq g_2$  en  $\Omega$ . entonces:

$$u_1 = u_{B_1 a_1 g_1} \leq u_{B_2 a_2 g_2} = u_2 \text{ en } \bar{\Omega} \quad (16)$$

ii) Si alguna de las tres desigualdades para  $B_i$ ,  $a_i$  ó  $g_i$  es estricta, la desigualdad para  $u_i$  también lo es.

#### Demostración

i) Si  $w = (u_2 - u_1)^+$ , usando  $v = u_i + w \in K_{B_i}$  para  $i = 1,2$  en (6), se obtiene que

$$0 \leq a(w, w) = \int_{\Omega} (g_1 - g_2) w \, dx - \int_{\Gamma_2} (a_1 - a_2) w \, d\gamma \leq 0 .$$

es decir  $w = 0$  en  $\bar{\Omega}$  y por ende  $u_1 \leq u_2$  en  $\bar{\Omega}$

ii) Si se supone  $u_1 = u_2$ , resulta de  $a(u_2 - u_1, v) = 0$  que  $g_2 = g_1 \in L^2(\Omega)$  y  $q_2 = q_1 \in L^2(\Gamma_2)$

### Propiedad 2

Si  $B > 0$ ,  $q > 0$  y  $g \geq 0$  resulta:

$$u^- \neq 0 \text{ en } \Omega \Leftrightarrow u^- \neq 0 \text{ sobre } \Gamma_2. \quad (17)$$

### Demostración

Se deduce trivialmente de la ecuación

$$\int_{\Omega} g u^- dx + a(u^-, u^-) = \int_{\Gamma_2} q u^- d\gamma \quad (18)$$

### Definición 1

Para cada  $B \in H^{1/2}(\Gamma_1)$ ,  $B > 0$ , se definen las funciones

$$F_{Bg} : \mathbb{R} \rightarrow \mathbb{R} /$$

$$F_{Bg}(q) = J(u_{Bqg}) = \frac{1}{2} a(u_{Bqg}, u_{Bqg}) - \int_{\Omega} g u_{Bqg} dx + q \int_{\Gamma_2} u_{Bqg} d\gamma \quad (19)$$

donde  $g \in L^2(\Omega)$  y

$$F_{Bq} : \mathbb{R} \rightarrow \mathbb{R} /$$

$$F_{Bq}(q) = J(u_{Bqg}) = \frac{1}{2} a(u_{Bqg}, u_{Bqg}) - g \int_{\Omega} u_{Bqg} dx + q \int_{\Gamma_2} u_{Bqg} d\gamma \quad (20)$$

donde  $q \in L^2(\Gamma_2)$ .

### Teorema 1

Las funciones  $F_{Bg}$  y  $F_{Bq}$  verifican

$$i) F_{Bg} \in C^1(\mathbb{R}) \text{ y } F'_{Bg}(q) = \int_{\Gamma_2} u_{Bqg} d\gamma, \quad (21)$$

$$ii) F_{Bq} \in C^1(\mathbb{R}) \text{ y } F'_{Bq}(q) = - \int_{\Omega} u_{Bqg} dx \quad (22)$$

### Demostración

Probaremos sólo ii). El caso i) se prueba en forma similar y el resultado es idéntico al obtenido en [5] para el caso  $g = 0$ .

La función  $g \rightarrow \int_{\Omega} u_{Bqg} dx$  es continua ya que a partir de las desigualdades de Cauchy-Schwarz y de Poincaré-Friederichs (con cte.  $C(\Omega)$ ) resultan

$$\|u_{Bq(g+h)} - u_{Bqg}\|_V \leq \frac{|\Omega|^{1/2} C(\Omega)}{\alpha} \|h\|, \quad (23)$$

$$|\int_{\Omega} (u_{Bq(g+h)} - u_{Bqg}) dx| \leq \frac{|\Omega| C(\Omega)}{\alpha} \|h\| \quad (24)$$

donde  $\alpha$  la constante de coercividad de la forma bilineal a sobre  $V_0$  y  $h \in \mathbb{R}$ .

Es fácil verificar además que

$$\frac{F_{Bq(g+h)} - F_{Bqg}}{h} = -\frac{1}{2} \int_{\Omega} (u_{Bq(g+h)} + u_{Bqg}) dx, \quad (25)$$

y por ende,  $F'_{Bq} \in C^1(\mathbb{R})$  con  $F'_{Bq}$  definido por (22).

Más aún,  $F'_{Bq}$  es una función estrictamente decreciente como consecuencia de la propiedad 1.

#### Corolario 1

i) Sean  $B_0 \in H^{1/2}(\Gamma_1)$ ,  $B_0 > 0$ ,  $g_0 \in L^2(\Omega)$ ,  $g_0 \geq 0$  y  $a_0 \in \mathbb{R}^+$  tales que  $F'_{B_0 g_0}(a_0) < 0$ ; entonces  $u_{Bqg}$  no es de signo constante en  $\Omega$ , para todo  $B \in H^{1/2}(\Gamma_1)$ ,  $q \in L^2(\Gamma_2)$ , y  $g \in L^2(\Omega)$  que verifican  $0 < B \leq B_0$ ,  $0 \leq q \leq g_0$  y  $0 < a_0 \leq \inf_{x \in \Gamma_2} q(x)$ .

ii) Sean  $B_1 \in H^{1/2}(\Gamma_1)$ ,  $B_1 > 0$ ,  $q_1 \in L^2(\Gamma_2)$  y  $g_1 \in \mathbb{R}$  tales que  $F'_{B_1 q_1}(g_1) > 0$ , entonces  $u_{Bqg}$  no es de signo constante en  $\Omega$  para todo  $B \in H^{1/2}(\Gamma_1)$ ,  $q \in L^2(\Gamma_2)$  y  $g \in L^2(\Omega)$  que verifican  $0 < B \leq B_1$ ,  $q_1 \leq q$  y  $\sup_{x \in \Omega} g(x) \leq g_1$ .

#### Demostración

Resulta inmediata del teorema 1 y de las propiedades 1 y 2. (La propiedad 2 se usa sólo en el caso i)).

Si se suponen  $a$ ,  $g$  ctes.,  $B > 0$  fijo, el caso i) queda representado por la siguiente figura

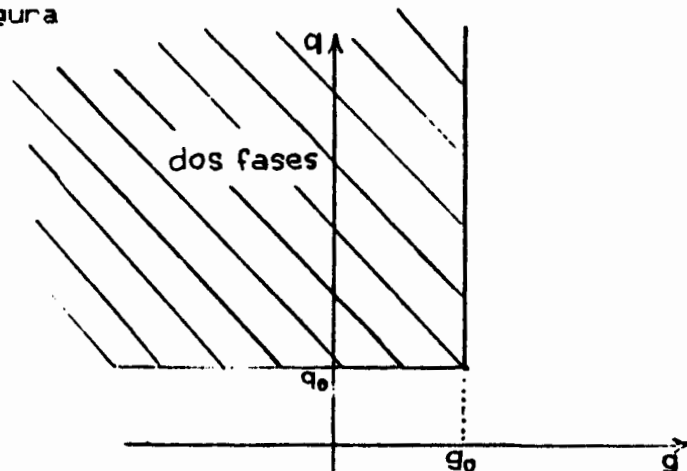


FIGURA 2

El caso iii) repite la misma figura reemplazando  $(g_0, q_0)$  por  $(g_1, q_1)$ .

### Definición 2 : Función Flujo Crítico

Si consideramos  $B \geq 0$  y cte. sobre  $\Gamma_1$ ,  $q$  constante sobre  $\Gamma_2$  y  $g \in L^2(\Omega)$ , podemos definir la función flujo crítico por

$$a_C : \mathbb{R}^+ \times L^2(\Omega) \rightarrow \mathbb{R}, \\ (B, g) \mapsto a_C(B, g) \quad (26)$$

tal que

- \* para cada  $B > 0$  y  $q \leq a_C(B, g)$ ,  $u_{Bgq} \geq 0$  en  $\Omega$  (una sola fase),
- \* para cada  $B > 0$  y  $q > a_C(B, g)$ ,  $u_{Bgq}$  es de signo no constante en  $\Omega$  (dos fases).

### Observación 1

Como consecuencia de la propiedad 1, la función Flujo Crítico es monótona en el siguiente sentido:

$$\forall 0 < B_1 \leq B_2 \text{ y } \forall g_1, g_2 \in L^2(\Omega), g_1 \leq g_2 \text{ resulta } a_C(B_1, g_1) \leq a_C(B_2, g_2). \quad (27)$$

En el caso que  $g$  y  $q$  son ctes. y  $B > 0$  fijo, se tiene la siguiente representación

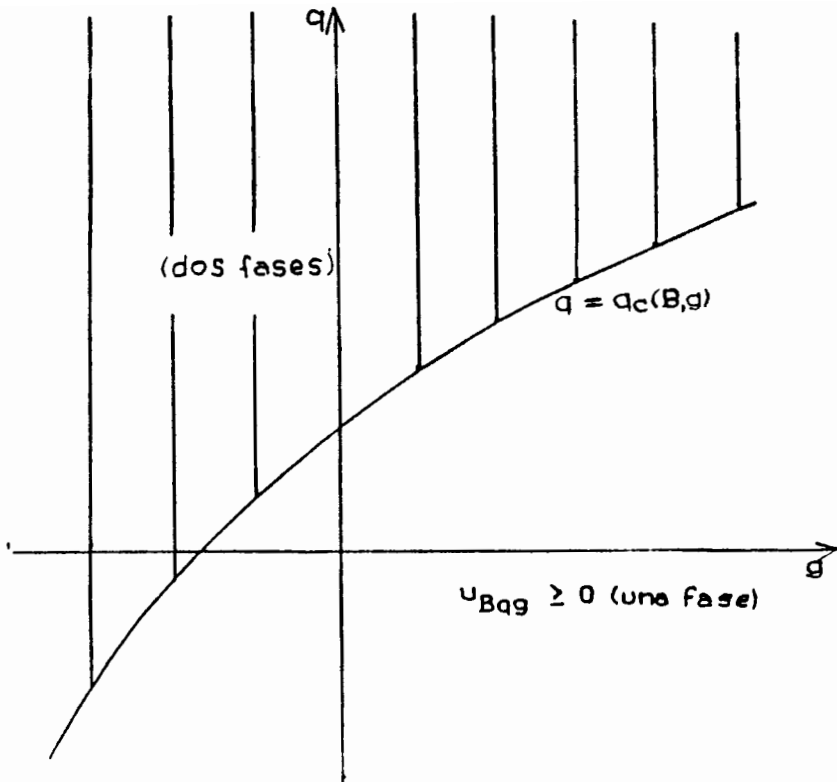


FIGURA 3

**Corolario 2**

i) Sean  $B > 0$  constante y  $g \in L^2(\Omega)$ , resulta

$$a) F'_{Bg}(q) < 0 \Leftrightarrow q > q_0(B) + \frac{c_g}{c_1}, \quad (28)$$

con

$$c_1 = a(u_1, u_1) = \int_{\Gamma_2} u_1 \, d\gamma > 0, \quad (29)$$

$$c_g = a(u_g, u_1) = \int_{\Omega} g u_1 \, dx = \int_{\Gamma_2} u_g \, d\gamma, \quad (30)$$

$$q_0(B) = \frac{B + |\Gamma_2|}{c_1} > 0, \quad (31)$$

( $u_1$  y  $u_g$  están definidas por (14) y (12) respectivamente).

$$b) q_0(B) + \frac{c_g}{c_1} > q_c(B,g), \quad \forall g \in L^2(\Omega), g \geq 0, B \in \mathbb{R}^+, \quad (32)$$

es decir que, si  $q > q_0(B) + \frac{c_g}{c_1}$  entonces  $u_{Bqg}$  no es de signo constante en  $\Omega$ .

iii) Sean  $B > 0$  constante y  $q \in L^2(\Gamma_2)$ , resulta

$$a) F_{Bq}(g) > 0 \Leftrightarrow g < \frac{cq}{c_2} - g_0(B) . \quad (33)$$

con

$$c_2 = a(u_2, u_2) = \int_{\Omega} u_2 dx > 0 . \quad (34)$$

$$c_q = -a(u_2, u_q) = - \int_{\Omega} u_q dx = \int_{\Gamma_2} q u_2 d\gamma . \quad (35)$$

$$g_0(B) = \frac{B |\Omega|}{c_2} > 0 . \quad (36)$$

$$b) Si g < -g_0(B) + \frac{cq}{c_2} , entonces  $u_{Bqg}$  no es de signo constante en  $\Omega$  . (37)$$

### Demostración

i)a) De (9), (14) y (21) resulta

$$F_{Bq}(q) = -\frac{1}{2} a(u_g, u_g) + q a(u_g, u_1) - \frac{q^2}{2} a(u_1, u_1) + B [q |\Gamma_2| - \int_{\Omega} g dx] \quad (38)$$

y luego

$$F'_{Bq}(q) = a(u_g, u_1) + B |\Gamma_2| - q a(u_1, u_1) = c_g + B |\Gamma_2| - q c_1 \quad (39)$$

Como  $c_1 > 0$ , se obtiene (28).

b) Resulta de i) y de la propiedad 2, teniendo en cuenta que, para  $g \geq 0$ ,

$$c_g = \int_{\Omega} g u_1 dx > 0 \text{ y por lo tanto } g_0(B) + \frac{cq}{c_1} > 0 .$$

ii) Se prueba de forma similar a la parte i) considerando que

$$F_{Bq}(q) = -\frac{q^2}{2} a(u_2, u_2) - q [a(u_2, u_q) + B |\Omega|] + B \int_{\Gamma_2} q d\gamma + \frac{1}{2} \int_{\Gamma_2} q u_q d\gamma \quad (40)$$

y de allí

$$F'_{Bq}(q) = -a(u_2, u_2) q - a(u_2, u_q) - B |\Omega| , \quad (41)$$

Es remarcable que en este caso no se requiere que  $q$  y  $g$  sean positivas o no negativas como sucede en el ítem i).

### Corolario 3

Si  $B$ ,  $q$  y  $g$  son constantes, se define la función

$$F : \mathbb{R}^+ \times \mathbb{R}^2 \rightarrow \mathbb{R}$$

$$(B, q, g) \rightarrow F(B, q, g) = J(u_{Bqg}) = F_{Bq}(q) = F_{Bg}(g) \quad (42)$$

que verifica

$$F(B, q, g) = -\frac{c_1}{2} q^2 + c_{12} q g - \frac{c_2}{2} g^2 + B |\Gamma_2| q - B |\Omega| g . \quad (43)$$

con  $c_1$  y  $c_2$  definidas por (29) y (34) respectivamente y

$$c_{12} = a(u_1, u_2) = \int_{\Omega} u_1 dx = \int_{\Gamma_2} u_2 d\gamma > 0 \quad (44)$$

y

$$\left\{ \begin{array}{l} \frac{\partial F}{\partial q}(B, q, g) = -c_1 q + c_{12} g + B |\Gamma_2| , \\ \frac{\partial F}{\partial g}(B, q, g) = c_{12} q - c_2 g - B |\Omega| , \\ \frac{\partial F}{\partial B}(B, q, g) = |\Gamma_2| q - |\Omega| g . \end{array} \right. \quad (45)$$

Además resulta:

i)  $D = c_1 c_2 - c_{12}^2 > 0$ , esto es, para  $B > 0$  dado

gráfico  $F = \{(q, g, z) \in \mathbb{R}^3 / z = F(B, q, g)\}$  es un paraboloide elíptico y las rectas

$$\left\{ \begin{array}{l} l_1) -c_1 q + c_{12} g + B |\Gamma_2| = 0 \\ l_2) c_{12} q - c_2 g - B |\Omega| = 0 \end{array} \right. \quad (46)$$

se intersecan en el punto  $(q^*, g^*)$  definido por

$$\left\{ \begin{array}{l} q^* = B \frac{|\Gamma_2| c_2 - |\Omega| c_{12}}{D} , \\ g^* = B \frac{|\Gamma_2| c_{12} - |\Omega| c_1}{D} \end{array} \right. \quad (47)$$

ii)  $a_C(B, g) < a_0(B) + \frac{c_{12}}{c_1} g \quad \forall B \in \mathbb{R}^+, g \in \mathbb{R}^+ \cup \{0\}$  (48)

iii)  $a_C(B, g) < a_1(B) + \frac{c_g}{c_{12}} g \quad \forall B \in \mathbb{R}^+, g \in \mathbb{R}$  (49)

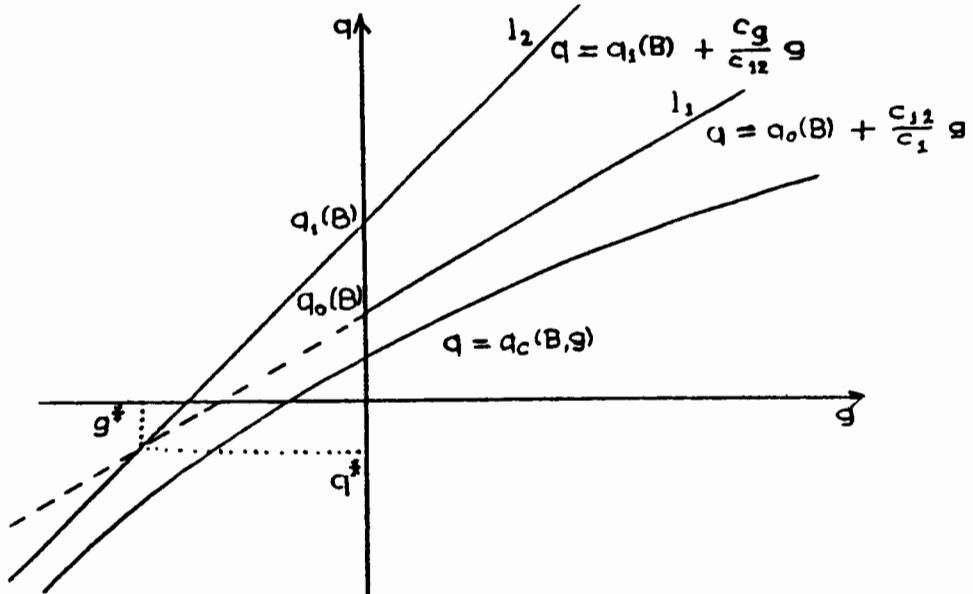


FIGURA 4

### Demostración

Las identidades (43) y (45) se obtienen trivialmente de (38)-(41).

i) Se tiene que

$$0 < C_{12} = a(u_1, u_2) = \int_{\Omega} \nabla u_1 \cdot \nabla u_2 \, dx \leq \|\nabla u_1\|_{L^2(\Omega)} \|\nabla u_2\|_{L^2(\Omega)} = \sqrt{C_1} \sqrt{C_2}$$

y como

$$\left. \begin{array}{l} \operatorname{div} \nabla u_1 = \Delta u_1 = 0 \quad \text{en } \Omega \\ \operatorname{div} \nabla u_2 = \Delta u_2 = -1 \quad \text{en } \Omega \end{array} \right\}$$

$\Rightarrow$  no existe  $C / \nabla u_1 = C \nabla u_2$

resulta

$$D = C_1 C_2 - C_{12}^2 > 0 .$$

Para obtener (47) se resuelve el sistema lineal (46)

ii) y iii) resultan respectivamente de (32) y (37)

### Propiedad 3

Sean  $B, \alpha, g$  ctes. y

$$Q_0(B) = \frac{B}{\inf_{\Gamma_2} u_1} \geq \frac{B}{\frac{\sup u_2}{\inf_{\Gamma_2} u_1}} = \tilde{Q}_0(B) > 0 , \quad (50)$$

$$M = \frac{\sup u_2}{\frac{\Gamma_2}{\inf_{\Gamma_2} u_1}} \geq \frac{\inf_{\Gamma_2} u_2}{\frac{\sup u_1}{\Gamma_2}} = m > 0 \quad (51)$$

Resulta:

$$\text{i)} \quad \tilde{Q}_0(B) + mg \leq q_C(B,g) \leq Q_0(B) + Mg , \quad \forall g \geq 0 \quad (52)$$

$$\text{ii)} \quad \text{Si } u_1|_{\Gamma_2} = \alpha_1 \text{ es constante, luego } q_C(B,0) = \frac{B}{\alpha_1} = \tilde{Q}_0(B) = Q_0(B) . \quad (53)$$

iii) Si  $u_1|_{\Gamma_2} = \alpha_1$  y  $u_2|_{\Gamma_2} = \alpha_2$  son constantes, luego

$$q_C(B,g) = \frac{B}{\alpha_1} + \frac{\alpha_2}{\alpha_1} g , \quad \forall g \geq 0 . \quad (54)$$

### Demostración

Si  $u_{B,q,g}$  no es de signo constante en  $\Omega$ , por Propiedad 2, para  $B > 0$ ,  $g \geq 0$  y  $q > 0$ , existe  $x \in \Gamma_2$  tal que

$$u_{B,q,g}(x) = B - q u_1(x) + g u_2(x) < 0 .$$

Luego

$$q > \frac{B + g u_2(x)}{u_1(x)} > \tilde{Q}_0(B) + mg > 0 , \text{ o sea } \tilde{Q}_0 + mg \leq q_C(B,g) \quad \forall g \geq 0 .$$

$$\text{Si } g \geq 0 \text{ y } q > Q_0(B) + Mg = \frac{B + \sup u_2}{\frac{\Gamma_2}{\inf_{\Gamma_2} u_1}} > 0 , \text{ luego}$$

$$u_{B,q,g}(x) < 0 , \quad \forall x \in \Gamma_2 \quad \text{y} \quad q_C(B,g) < Q_0(B) + Mg , \quad \forall g \geq 0$$

De (52) se obtienen trivialmente (53) y (54).

### 4. EJEMPLOS

Daremos a continuación tres ejemplos en los que la solución se conoce explícitamente para  $B > 0$ ,  $q$  y  $g$  ctes.

#### Ejemplo 1

Se considera:

$$\left\{ \begin{array}{l} n = 2 , \quad \Omega = (0, x_0) \times (0, y_0) , \quad x_0 > 0 , \quad y_0 > 0 , \\ \\ \Gamma_1 = (0) \times [0, y_0] , \quad \Gamma_2 = (x_0) \times [0, y_0] , \quad \Gamma_3 = (0, x_0) \times (0) \cup (0, x_0) \times (y_0) . \end{array} \right. \quad (55)$$

Se obtiene:

$$u_1(x,y) = x , \quad u_2(x,y) = x_0 x - \frac{x^2}{2} ,$$

$$c_1 = x_0 y_0 , \quad c_2 = \frac{x_0^3 y_0}{3} , \quad c_{12} = \frac{x_0^2 y_0}{2} ,$$

$$D = c_1 c_2 - c_{12}^2 = \frac{x_0^4 y_0^2}{12} , \quad |\Omega| = x_0 y_0 , \quad |\Gamma_2| = y_0 ,$$

$$1_1) q - \frac{x_0}{2} g - \frac{B}{x_0} = 0$$

$$1_2) q - \frac{x_0}{3} g - \frac{B}{x_0} = 0$$

$$(g^*, q^*) = \left( -\frac{2B}{x_0} , -\frac{6B}{x_0^2} \right) ,$$

$$a_C(B, g) = \begin{cases} \frac{B}{x_0} + \frac{x_0}{2} g , & \forall g \geq -\frac{2B}{x_0^2} , \\ g x_0 + \sqrt{-2B g} , & \forall g \leq -\frac{2B}{x_0^2} . \end{cases} \quad (56)$$

## Ejemplo 2

Se considera:

$$\left\{ \begin{array}{l} n = 2 , \quad 0 < r_1 < r_2 , \quad \Gamma_3 = \emptyset , \quad r , \omega : \text{coordenadas polares en } \mathbb{R}^2 , \\ \\ \Omega = \{ (r, \omega) : r_1 < r < r_2 \} , \\ \\ \Gamma_1 = \{ (r, \omega) : r = r_1 , \quad 0 \leq \omega < 2\pi \} , \\ \\ \Gamma_2 = \{ (r, \omega) : r = r_2 , \quad 0 \leq \omega < 2\pi \} , \quad \Gamma_3 = \emptyset . \end{array} \right. \quad (57)$$

Se obtiene:

$$u_1(r) = r_2 \log \frac{r}{r_1} , \quad u_2(r) = \frac{r_2^2}{2} \log \frac{r}{r_1} - \frac{r^2 - r_1^2}{4} ,$$

y definiendo

$$c = \frac{r_2^2}{r_1} ; \alpha(c) = (c^2 - 1) - 2 \log c , \beta(c) = (1 + c^2) \log c - (c^2 - 1) ,$$

$$\gamma(c) = 2 c^2 \log c - (c^2 - 1)$$

resulta:

$$c_1 = 2 \pi r_2^2 \log c , c_{12} = \frac{\pi r_1^3 c}{2} [ 2 c^2 \log c - (c^2 - 1) ] .$$

$$c_2 = \frac{\pi r_1^4}{8} [ 4 c^4 \log c - 2 c^2 (c^2 - 1) - (c^2 - 1)^2 ] .$$

$$D = c_1 c_2 - c_{12}^2 = \frac{\pi^2}{4} r_1^5 c^2 (c^2 - 1) \beta(c) ,$$

$$|\Omega| = \pi (r_2^2 - r_1^2) , |\Gamma_2| = 2 \pi r_2 ,$$

$$l_1) a - \frac{B}{r_2 \log c} - [\frac{r_2}{2} - \frac{r_1(c^2 - 1)}{4 c \log c}] g = 0$$

$$l_2) a - \frac{2(c^2 - 1) B}{[2 c^2 \log c - (c^2 - 1)] r_1 c} - \frac{r_1 [4 c^4 \log c - (c^2 - 1)(3 c^2 - 1)]}{4 c [2 c^2 \log c - (c^2 - 1)]} g = 0$$

$$(g^*, a^*) = \left( -\frac{4 B \alpha(c)}{r_1^2 (c^2 - 1) \beta(c)} ; \frac{B}{r_2} \left[ \frac{1}{\log c} - \frac{\gamma(c) \alpha(c)}{(c^2 - 1) \beta(c) \log c} \right] \right) ,$$

$$a_0(B, g) = \begin{cases} \frac{B}{r_2 \log c} + [\frac{r_2}{2} - \frac{r_1(c^2 - 1)}{4 c \log c}] g , & \forall g \geq -\frac{4 B}{r_1^2 \gamma(c)} \\ -\frac{g r_1}{2 c} [Q^2(g) - c^2] , & \forall g < -\frac{4 B}{r_1^2 \gamma(c)} \end{cases} \quad (58)$$

donde  $Q(g)$  está definida implícitamente por

$$H(g, Q) = B + g \frac{r_1^2}{4} [Q^2 (2 \log Q - 1) + 1] = 0 . \quad (59)$$

### Ejemplo 3

Se consideran los mismos datos que en el ejemplo 2 pero para  $n = 3$

Se obtiene:

$$u_1(r) = r_2^2 (\frac{1}{r_1} - \frac{1}{r}) , u_2(r) = -\frac{r_2}{3} (\frac{1}{r_1} - \frac{1}{r}) - \frac{r^2 - r_1^2}{6}$$

$$c_1 = 4 \pi r_1^3 c^3 (c - 1) , \quad c_{12} = \frac{2}{3} \pi r_1^4 c^2 (c - 1)^2 (2c + 1) ,$$

$$c_2 = \frac{4}{45} \pi r_1^5 (c - 1)^2 (5c^3 + 6c^2 + 3c + 1) ,$$

$$D = c_1 c_2 - c_{12}^2 = \frac{4}{45} \pi^2 r_1^8 (c - 1)^4 c^3 (4c^2 + 7c + 4) ,$$

$$|\Omega| = \frac{4}{3} \pi (r_2^3 - r_1^3) , \quad |\Gamma| = 4 \pi r_2^2 ,$$

$$l_1) \alpha - \frac{B}{r_1 c (c - 1)} - \frac{r_1 (c - 1) (2c + 1)}{6c} g = 0$$

$$l_2) \alpha - \frac{2B(c^2 + c + 1)}{r_1 c^2 (c - 1) (2c + 1)} - \frac{2r_1 (5c^3 + 6c^2 + 3c + 1)}{15c^2 (2c + 1)} g = 0$$

$$(g^*, \alpha^*) = \left( -\frac{180B(c + 1)}{r_1^2 (c - 1)^2 (4c^2 + 7c + 4)} ; -\frac{12B}{r_1} \frac{(c^2 + 3c + 1)}{c(c - 1)(4c^2 + 7c + 4)} \right) ,$$

$$\alpha_C(B, g) = \begin{cases} \frac{B}{r_1 c (c - 1)} + \frac{r_1 (c - 1) (2c + 1)}{6c} g , & \forall g \geq g_1 \\ g \frac{r_1}{3} (c - \tilde{Q}(g)) , & \forall g \leq g_1 \end{cases} \quad (60)$$

Observamos que, en los tres ejemplos, fijado  $B > 0$ , la gráfica de  $\alpha_C(B, g)$  coincide con la de  $r_1$ ,  $\forall g \geq g_1$  ( $g_1 > g^*$ ), es decir, para los  $g$  tales que  $\alpha_C(B, g) \geq 0$ .

## REFERENCIAS

- [1] G. DUVAUT, "Problèmes à frontière libre en théorie des milieux continus". Rapport de Recherche N° 185, Rocquencourt (1976).
- [2] D. KINDERLEHRER - G. STAMPACCHIA, "An introduction to variational inequalities and their applications", Academic Press, New York (1980).
- [3] M. H. PROTTER - H. F. WEINBERGER, "Maximum principles in differential equations", Prentice-Hall, Englewood Cliffs, N. J. (1967).
- [4] D. A. TARZIA, "Sur le problème de Stefan à deux phases", Thèse de 3ème Cycle, Univ. Paris VI, 8 Mars 1979. C.R. Acad. Sc. Paris, 288A (1979), 941-944. Ver además "Aplicación de métodos variacionales en el caso estacionario del problema de Stefan a dos fases", Math. Notae, 27(1979), 145-156.
- [5] D. A. TARZIA, "An inequality for the constant heat flux to obtain a steady-state two-phase Stefan problem", Engineering Anal., 5(1988), 177-181. Ver además Math. Notae, 28(1980), 73-89 y "The two-phase Stefan problem and some related conduction problems", Reuniões em Matemática Aplicada e Computação Científica, Vol. 5, SBMAC-Soc. Brasileira Mat. Appl. Comput., Gramado (1987).